

doi: 10.13241/j.cnki.pmb.2018.15.029

血清 C 反应蛋白、正五聚蛋白 -3 对小儿肺动脉高压的诊断价值 *

陈雨华¹ 殷洪明^{1,2} 曹 烨¹ 陈 艳² 张 健^{1,2△}

(1 无锡市儿童医院医学检验科 江苏 无锡 214023;2 无锡市人民医院儿童医院医学检验科 江苏 无锡 214023)

摘要 目的:研究血清 C 反应蛋白(CRP)和正五聚蛋白 -3(PTX-3)在小儿肺动脉高压(PAH)诊断中的临床价值。方法:选择 32 例 PAH 患儿及 32 例健康小儿,检测和比较其血清 CRP、PTX-3 水平,分析血清 CRP、PTX-3 水平的相关性,通过绘制 ROC 曲线评价其对于 PAH 的诊断价值。结果:PAH 组血清 CRP 水平(29.63 ± 15.82 mg/L)、PTX-3 水平(1.20 ± 1.03 ng/mL)与对照组[CRP 水平(3.38 ± 1.74 mg/L)、PTX-3 水平(0.64 ± 0.43 ng/mL)]相比均显著升高($P < 0.01$)。血清 CRP 与 PTX-3 的相关系数 r 为 0.356 ($P < 0.05$)。血清 CRP 诊断 PAH 的 ROC 曲线 AUC 为 0.983 ,临界点为 6.6 mg/L;PTX-3 诊断 PAH 的 ROC 曲线 AUC 为 0.669 ,临界点为 0.95 ng/mL;两者联合诊断的 AUC 为 0.986 ,临界点为 1.01 。结论:PAH 患儿血清 PTX-3 和 CRP 水平均显著升高,CRP 大于 PTX 对 PAH 的诊断价值,两者联合诊断的价值更大。

关键词:C 反应蛋白;正五聚蛋白 -3;肺动脉高压

中图分类号:R725.4 文献标识码:A 文章编号:1673-6273(2018)15-2934-03

Diagnostic Value of Serum c-reactive Protein and Pentraxin-3 for the Children with Severe Pulmonary Hypertension*

CHEN Yu-hua¹, YIN Hong-ming^{1,2}, CAO Ye¹, CHEN Yan², ZHANG Jian^{1,2△}

(1 Department of medical laboratory, Wuxi children's Hospital, Wuxi, Jiangsu, 214023, China;

2 Department of Clinical Laboratory, Wuxi People's Hospital, Wuxi, Jiangsu, 214023, China)

ABSTRACT Objective: To research the clinical value of serum c-reactive protein (CRP) and pentraxin-3 (PTX-3) for the diagnosis of children with pulmonary hypertension (PAH). **Methods:** 32 cases of children with PAH and 32 cases of normal children were chosen. The serum levels of CRP and PTX-3 were detected and compared between two groups, the correlation between CRP and PTX-3 was also assessed. Diagnostic value was evaluated by ROC curve. **Results:** The serum levels of CRP (29.63 ± 15.82 mg/L) and PTX-3 (3.38 ± 1.74 mg/L) in PAH group were significantly higher than those of the control group respectively [CRP level (1.20 ± 1.03 ng/mL) and PTX-3 level (0.64 ± 0.43 ng/mL), $P < 0.01$]. Correlation coefficient was 0.335 ($P < 0.05$) between CRP and PTX-3 in serum. With ROC curve for diagnosis of PAH, AUC of CRP was 0.983 ($P < 0.05$), and cut off point was 6.6 mg/L. AUC of PTX-3 was 0.669 ($P < 0.05$), cut off point was 0.95 ng/mL. AUC of combination of CRP and PTX-3 was 0.986 , cut off point was 1.01 . **Conclusions:** Upregulation of serum levels of CRP and PTX-3 were found in children with PAH. The diagnostic value of CRP was better than PTX-3 for PAH. Meanwhile, the combination of serum levels of CRP and PTX-3 had better diagnostic value for children with PAH.

Key words: C-reactive protein; Pentraxin-3; Pulmonary artery hypertension

Chinese Library Classification(CLC): R725.4 Document code: A

Article ID: 1673-6273(2018)15-2934-03

前言

肺动脉高压(pulmonary artery hypertension, PAH)定义为肺动脉压平均 >25 mmHg^[1],症状为非特异性,疾病早期可以无症状,然后随着病情进展逐步出现呼吸困难、乏力及晕厥、胸痛及咯血等。PAH 的发生是多因素共同作用的结果^[2],甚至包括中药^[3]。小儿 PAH 主要继发于未诊断及治疗的先天性心脏病,尤其是血液左向右分流缺陷。目前,临床对 PAH 的诊断需多种方法联合应用,包括实验室检查、心电图、胸片、超声心动图、肺功能、CT、核磁共振及肺动脉造影等,其中实验室检查包括自身

抗体、肝功能与肝炎病毒标志物、HIV 抗体、甲状腺功能检查、血气分析、凝血酶原时间与活动度、BNP 或 NT-proBNP 等。

正五聚蛋白(pentraxin, PTX)是一个蛋白质家族,包括超敏 C 反应蛋白、血清淀粉样物质 P 组分和神经元的正五聚蛋白,其中一些成员还有糖结合活性。PTX 具有特定的正五边形。正五聚蛋白 -3(PTX-3)是 PTX 家族中的一个长正五聚蛋白,由局部血管细胞合成,在细胞增殖和凋亡的调控中起重要作用^[4],在炎症中也发挥作用^[5]。C 反应蛋白(c-reactive protein, CRP)是肝脏产生的继发于系统炎症的快速标志物。而炎症在 PAH 的发生过程中有重要作用^[6]。因此,本研究通过检测肺动脉高血压患

* 基金项目:江苏省科教强卫创新团队基金项目(CXTDB2017016)

作者简介:陈雨华(1987-),本科,主管技师,主要研究方向:临床检验,电话:15161558243, E-mail: 532733390@qq.com

△ 通讯作者:张健,本科,副主任技师,主要研究方向:临床检验,电话:15961838555, E-mail: ewxetyyjk@163.com

(收稿日期:2017-12-06 接受日期:2018-01-05)

儿的血清 PTX-3 和 CRP 水平, 探讨其对肺动脉高压的临床意义, 以期为 PAH 患儿的诊断提供参考依据。

1 材料与方法

1.1 对象

32 例 PAH 患儿均为 2017 年 1 月至 10 月无锡市儿童医院住院患儿, PAH 的诊断标准为静息状态下肺动脉平均压差 $\geq 25 \text{ mmHg}$ 。另选取同期儿保科健康体检的小儿 32 例作为对照组。两组小儿在年龄、性别匹配, 均进行体格检查, 排除感染、发烧及其它慢性肝肾心疾病。

1.2 检测方法

两组小儿均于清晨空腹状态抽取静脉血 3 mL, 放入分离胶促凝管, 静止放置 30 min 后 3000 r/min 离心 10 min 分离血清, 标本 4°C 保存, 72 h 内完成检测。CRP 采用 Beckman-coulter 公司 Immage800 特定蛋白仪免疫比浊法检测; PTX-3 采用酶联免疫吸附法(ELISA)检测, 试剂为 Sigma 公司提供。检测过程均

严格按照 SOP 操作执行, 试剂、标准品、定标液均为公司原装配套产品。

1.3 统计学分析

统计学用 SPSS19.0 进行。计数资料用均数 \pm 标准差表示, 组间差异用 Mann-Whitney U 检测, 相关性比较采用 Pearson 检验, 绘制 ROC 曲线评估诊断价值, 以 $P < 0.05$ 为具有统计学意义。

2 结果

2.1 两组血清 PTX-3、CRP 水平的比较

两组患儿的年龄分布差异无统计学意义, 但对照组患儿的体重显著高于 PAH 组($P < 0.05$)。由于 PTX-3、CRP 水平呈非正态分布, 因此采用 Mann-Whitney U 检验比较组间数据。PAH 组的 CRP 水平 ($29.63 \pm 15.82 \text{ mg/L}$)、PTX-3 水平 ($1.20 \pm 1.03 \text{ ng/mL}$) 与对照组水平 (CRP: $3.38 \pm 1.74 \text{ mg/L}$; PTX-3: $0.64 \pm 0.43 \text{ ng/mL}$) 比较有显著性差异, PAH 组血清 PTX-3 及 CRP 水平均显著高于对照组($P < 0.01$), 结果见表 1。

表 1 病患组和对照组年龄、体重、血清 PTX-3、CRP 水平的比较

Table 1 Comparison of the age, weight, serum PTX-3, CRP levels between the two groups

	N	Age (year)	Weight (kg)	CRP (mg/L)	PTX-3 (ng/mL)
PAH group	32	9.1 \pm 0.39	27.01 \pm 15.25	29.63 \pm 15.82	1.20 \pm 1.03
Healthy control group	32	9.54 \pm 4.33	37.37 \pm 20.03	3.38 \pm 1.74	0.64 \pm 0.43
P value		>0.05	<0.05	<0.01	<0.01

2.2 血清 PTX-3、CRP 水平的相关性分析

将疾病组与对照组数据合并, 对血清 CRP 和 PTX-3 水平进行相关性检验, 本研究采用 Pearson 检验, 结果显示 r 为 0.356 ($P < 0.05$), 说明二者之间存在显著正相关。

2.3 血清 PTX-3、CRP 水平诊断 PAH 的 ROC 曲线

CRP 的 AUC 为 0.983($P < 0.05$), 临界点为 6.6 mg/L, 在临界

点的敏感性特异性分别为 0.968 和 1.0。PTX-3 的 AUC 为 0.669 ($P < 0.05$), 临界点为 0.95 ng/mL, 在临界点的敏感性特异性分别 0.484 及 0.806。CRP 和 PTX 联合诊断的 AUC 为 0.986 ($P < 0.001$), 临界点为 1.01, 敏感性特异性分别为 0.968 和 1.0。诊断 PAH 的 ROC 曲线见图 1, 性能见表 2。

表 2 CRP、PTX-3 诊断 PAH 的性能评价

Table 2 Performance evaluation of diagnostic role of CRP and PTX-3 on PAH

Marker	AUC	95%CI	P value	Cut off point	Sensitivity	Specificity
CRP	0.983	0.95-1.016	<0.001	0.66 (mg/L)	0.968	1.0
PTX-3	0.669	0.534-0.804	0.022	0.95 (ng/mL)	0.484	0.806
Combination	0.986	0.959-1.00	<0.001	1.01	0.968	1.0

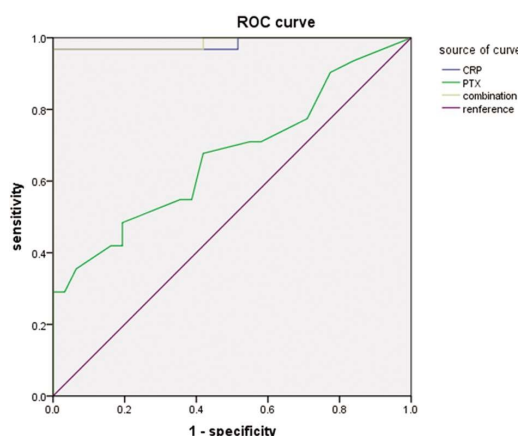


图 1 CRP、PTX-3 诊断 PAH 的 ROC 曲线

Fig.1 ROC curves of CRP and PTX-3 in the diagnosis of PAH

3 讨论

PAH 是一种常见病、多发病, 致残率、致死率均很高。PAH 和许多因素相关, 包括小 RNA、血管内皮生长因子、转化生长因子- β 、肝细胞生长因子等^[9-15], 还与慢性血栓疾病及连接组织相关性 PAH 有关^[16]。小儿 PAH 可同时合并其他疾病^[7], 其发生发展与先天性心脏病及小儿肺疾病密切相关^[8]。临幊上一般用炎症标志物水平反映炎症状态。炎症标志物除了常用的白细胞计数及 CRP 外, 还包括 IL-1 β 、IL-6、P 选择素等。现在研究显示 PAH 患儿血清肿瘤坏死因子- α (TNF- α)、CRP 和 IL-6 水平显著增高, 提示 PAH 是一种炎症状态, 研究炎症标志物有助于了解 PAH 的炎症状态, 为 PAH 的诊断提供依据。

PTX-3 是一种长五正聚蛋白,由平滑肌细胞、内皮细胞、纤维细胞及炎症部位的其它免疫细胞合成,在细胞增殖、调控中起重要作用^[3]。近年研究显示 PTX-3 与肝内胆管癌、乳腺转移癌、慢性阻塞性肺病、自发性荨麻疹、新生儿败血症等疾病相关^[17-22]。PTX-3 与炎症也有密切关系^[4]。在 PAH 方面, Tamura 等^[23]认为 PTX-3 可作为诊断 PAH 新的标志物,他们发现 50 例 PAH 患者体内 PTX-3 水平显著增高,研究对象包括 27 例先天性 PAH、17 例连接组织疾病和 6 例先天性心脏病。本研究结果显示 PAH 组 PTX-3 水平(1.20 ± 1.03 ng/mL)与对照组(0.64 ± 0.43 ng/mL)比较有显著性差异,PAH 组含量显著高于对照组($P < 0.01$),说明 PTX-3 在 PAH 的发生发展过程中起重要作用;ROC 曲线结果显示 PTX-3 诊断 PAH 的 AUC(area under curve)为 0.669(95%CI: 0.534-0.804),临界点为 0.95 ng/mL,此时敏感性和特异性分别是 0.484 和 0.806,与 Tamura 等^[23]的结论基本一致。这些结果说明血清 PTX-3 对 PAH 诊断具有一定的临床意义。

C 反应蛋白(C-reactionprotein, CRP)是一种可与肺炎链球菌的荚膜 C-多糖发生反应的蛋白质,是机体受到感染或组织损伤时血浆中急剧上升的一类蛋白质(急性蛋白)。CRP 和肝内胆管癌、乳腺转移癌、慢性阻塞性肺病、自发性荨麻疹、新生儿败血症、心血管疾病及泌尿道癌症密切相关^[24-30]。本研究结果显示 PAH 组的 CRP 水平显著高于对照组,说明 CRP 在 PAH 的发生发展过程中有一定作用。ROC 曲线结果显示,相比 PTX-3,CRP 对 PAH 的诊断意义加大;同时,两者联合诊断的意义更大。

为了解 PTX-3 和 CRP 在临床上的关系,本研究对两组数据间的相关性进行了分析,通过合并 PAH 组和对照组的数据,可更全面反映两项目在疾病和正常状态下的关系。Pearson 相关性检验分析相关系数 r 为 0.356,表明 PTX-3 和 CRP 存在正相关性,提示 PTX-3 在某些疾病状况下可作为炎症标志物反映机体的炎症状况,PTX-3 和 CRP 具有相同的临床意义。本研究 PAH 组 PTX-3、CRP 均显著高于对照组,表明 PAH 患者处于炎症状态,提示炎症在 PAH 的发生发展过程中起促进作用。综上所述,PAH 患儿血清 PTX-3 和 CRP 水平都显著上调,炎症在 PAH 的发生发展中起促进作用。PTX-3 和 CRP 对 PAH 的诊断都具有一定价值,CRP 大于 PTX 对 PAH 的诊断价值,两者联合诊断的价值更大。

参考文献(References)

- [1] Ivy D. Advances in pediatric pulmonary arterial hypertension [J]. *Curr Opin Cardiol*, 2012, 27(2): 70-81
- [2] Beghetti M, Tissot C. Pulmonary hypertension in congenital shunts[J]. *Rev Esp Cardiol*, 2010, 63(10): 1179-1193
- [3] Nishio M, Hirooka K, Doi Y. Chinese herbal drug natural indigo may cause pulmonary artery hypertension [J]. *Eur Heart J*, 2016, 37(25): 1992
- [4] Mantovani A, Garlanda C, Doni A, et al. Pentraxins in innate immunity: from c-reactive protein to the long pentraxin PTX3 [J]. *J Clin Immunol*, 2008, 28(1): 1-13
- [5] Liu S, Qu X, Liu F, et al. Pentraxin 3 as a prognostic biomarker in patients with systemic inflammation or infection[J]. *Mediators Inflamm*, 2014, 2014: 421-429
- [6] Maciocia PM. Inflammatory signaling in pulmonary hypertension: the controversial role of CRP, and the search for new therapies [J]. *Cardiovasc Ther*, 2010, 28(1): 1-4
- [7] Jindal AK, Rawat A, Suri D, et al. Severe aspergillus pneumonia and? pulmonary artery hypertension in a child with autosomal recessive chronic granulomatous disease and selective IgA deficiency[J]. *J Clin Immunol*, 2017, 37(4): 333-335
- [8] Van Loon RL, Roofthooft MT, van Osch-Gevers M, et al. Clinical characterization of pediatric pulmonary hypertension: complex presentation and diagnosis[J]. *J Pediatr*, 2009, 155(2): 176-182
- [9] Sargent L, Longo S, Lousada N, et al. Nt-ProBNP, anaemia and renal function are independent predictors of hospitalization in outpatients with pulmonary artery hypertension [J]. *Rev Port Pneumol* (2006), 2015, 21(1): 46-47
- [10] Lee HW, Jin SW. VEGFR3 as a novel modulator for PAH [J]. *Oncotarget*, 2017, 8(49): 84610-84611
- [11] Li Q, Qian Z, Wang L. Pri-microRNA-124 rs531564 polymorphism minor allele increases the risk of pulmonary artery hypertension by abnormally enhancing proliferation of pulmonary artery smooth muscle cells[J]. *Int J Chron Obstruct Pulmon Dis*, 2017, 12: 1351-1361
- [12] Prabhu MA, Ismael S, Remani K, et al. Association of transforming growth factor-β superfamily genes with non-regression of pulmonary artery hypertension following balloon mitral valvotomy: a pilot study [J]. *J Heart Valve Dis*, 2016, 25(6): 708-715
- [13] Hao M, Li M, Li W. Galectin-3 inhibition ameliorates hypoxia-induced pulmonary artery hypertension [J]. *Mol Med Rep*, 2017, 15(1): 160-168
- [14] Liang M, Pang Y, Zhang S, et al. Utility of hepatocyte growth factor as a biomarker for early diagnosis of pulmonary artery hypertension [J]. *Mol Diagn Ther*, 2016, 20(5): 463-468
- [15] Liu Y, Liu G, Zhang H, et al. MiRNA-199a-5p influences pulmonary artery hypertension via downregulating Smad3 [J]. *Biochem Biophys Res Commun*, 2016, 473(4): 859-866
- [16] Ramakrishnan S, Kukreti BB, Salahudin S, et al. Inflammatory markers are elevated in Eisenmenger syndrome [J]. *Pediatr Cardiol*, 2013, 34(8): 1791-1796
- [17] Narciso-Schiavon JL, Pereira JG, Silva TE, et al. Circulating levels of pentraxin-3 (PTX3) in patients with liver cirrhosis [J]. *Ann Hepatol*, 2017, 16(5): 780-787
- [18] Hamed S, Behnnes M, Pauly D, et al. Diagnostic value of Pentraxin-3 in patients with sepsis and septic shock in accordance with latest sepsis-3 definitions[J]. *BMC Infect Dis*, 2017, 17(1): 554
- [19] Jo YS, Cheon JY, Ahn JW, et al. Pentraxin 3 and lipid profile status in pregnancy[J]. *J Obstet Gynaecol*, 2017, 37(6): 727-730
- [20] Vengen IT, Enger TB, Videm V, et al. Pentraxin 3, ficolin-2 and lectin pathway associated serine protease MASP-3 as early predictors of myocardial infarction - the HUNT2 study [J]. *Sci Rep*, 2017, 7: 43045
- [21] Gurel H, Genc H, Celebi G, et al. Plasma pentraxin-3 is associated with endothelial dysfunction in non-alcoholic fatty liver disease [J]. *Eur Rev Med Pharmacol Sci*, 2016, 20(20): 4305-4312

- [25] P Sun, Y Mu, S Zhang, et al. A novel NF-kappaB/MMP-3 signal pathway involves in the aggressivity of glioma promoted by Bmi-1[J]. *Tumour Biol*, 2014, 35(12): 12721-12727
- [26] 朱爱华,陆华,肖新如,等.人脑胶质瘤中 BMI1 的表达及其意义[J]. *中国肿瘤临床*, 2009, 36(11): 640-643
Zhu Ai-hua, Lu Hua, Xiao Xin-ru, et al. Expression of BMI1 in Human Gliomas and Its Significance [J]. *Chinese Journal of Clinical Oncology*, 2009, 36(11): 640-643
- [27] M Zak, T van Oort, F G Hendriksen, et al. LGR4 and LGR5 Regulate Hair Cell Differentiation in the Sensory Epithelium of the Developing Mouse Cochlea[J]. *Front Cell Neurosci*, 10: 186
- [28] Z Lv, J J Yu, W J Zhang, et al. Expression and functional regulation of stemness gene Lgr5 in esophageal squamous cell carcinoma[J]. *Oncotarget*, 2017, 8(16): 26492-26504
- [29] C L Trejo, G Luna, C Dravis, et al. Lgr5 is a marker for fetal mammary stem cells, but is not essential for stem cell activity or tumorigenesis [J]. *NPJ Breast Cancer*, 2017, 3: 16
- [30] S Nakata, B Campos, J Bageritz, et al. LGR5 is a marker of poor prognosis in glioblastoma and is required for survival of brain cancer stem-like cells[J]. *Brain Pathol*, 2013, 23(1): 60-72
- [31] D Wang, J Zhou, C Fan, et al. Knockdown of LGR5 suppresses the proliferation of glioma cells in vitro and in vivo[J]. *Oncol Rep*, 2014, 31(1): 41-49
- [32] S Jelen, B Parm Ulhoi, A Larsen, et al. AQP9 expression in glioblastoma multiforme tumors is limited to a small population of astrocytic cells and CD15 (+)/CalB (+) leukocytes [J]. *PLoS One*, 2013, 8(9): e75764
- [33] R H Dahlrot, S K Hermansen, S Hansen, et al. What is the clinical value of cancer stem cell markers in gliomas? [J]. *Int J Clin Exp Pathol*, 2013, 6(3): 334-348
- [34] 李世泽,黄玮,杨雷霆,等.人脑胶质瘤中 CD133、SSEA-1、Nestin 的表达和意义[J].*中国微侵袭神经外科杂志*, 2014, 19(7): 327-330
Li Shi-ze, Huang Wei, Yang Lei-ting, et al. Expression of CD133, SSEA-1 and Nestin in human gliomas and its significance [J]. *Chin J Minim Invasive Neurosurg*, 2014, 19(7): 327-330
- [35] P Bach, T Abel, C Hoffmann, et al. Specific elimination of CD133+ tumor cells with targeted oncolytic measles virus[J]. *Cancer research*, 2013, 73(2): 865-874
- [36] U D Kahlert, N O Bender, D Maciaczyk, et al. CD133/CD15 defines distinct cell subpopulations with differential in vitro clonogenic activity and stem cell-related gene expression profile in in vitro propagated glioblastoma multiforme-derived cell line with a PNET-like component [J]. *Folia Neuropathol*, 2012, 50(4): 357-368
- [37] P Sathyam, P O Zinn, A L Marisetty, et al. Mir-21-Sox2 Axis Delinates Glioblastoma Subtypes with Prognostic Impact [J]. *J Neurosci*, 2015, 35(45): 15097-15112

(上接第 2936 页)

- [22] Uzun S, Ozari M, Gursu M, et al. Changes in the inflammatory markers with advancing stages of diabetic nephropathy and the role of pentraxin-3[J]. *Ren Fail*, 2016, 38(8): 1193-1198
- [23] Tamura Y, Ono T, Kuwana M, et al. Human pentraxin 3 (PTX3) as a novel biomarker for the diagnosis of pulmonary arterial hypertension [J]. *PLoS One*, 2012, 7(9): e45834
- [24] Zheng BH, Yang LX, Sun QM, et al. A new preoperative prognostic system combining CRP and CA199 for patients with intrahepatic cholangiocarcinoma[J]. *Clin Transl Gastroenterol*, 2017, 8(10): e118
- [25] El-Abd E, El-Sheikh M, Zaky S, et al. Plasma TuM2-PK correlates with tumor size, CRP and CA153 in metastatic breast carcinomas; short versus long term follow up study of the Egyptian breast cancer patients[J]. *Cancer Biomark*, 2017, 20(2): 123-133
- [26] Lin YH, Liao XN, Fan LL, et al. Long-term treatment with budes-

- onide/formoterol attenuates circulating CRP levels in chronic obstructive pulmonary disease patients of group D [J]. *PLoS One*, 2017, 12(8): e0183300
- [27] Kolkhir P, Pogorelov D, Olisova O. CRP, D-dimer, fibrinogen and ESR as predictive markers of response to standard doses of levocetirizine in patients with chronic spontaneous urticaria [J]. *Eur Ann Allergy Clin Immunol*, 2017, 49(4): 189-192
- [28] Shabuj KH, Hossain J, Moni SC, et al. C-reactive protein (CRP) as a single biomarker for diagnosis of neonatal sepsis: a comprehensive meta-analysis[J]. *Mymensingh Med J*, 2017, 26(2): 364-371
- [29] Saito I, Maruyama K, Equchi E. C-reactive protein and cardiovascular disease in East Asians: a systematic review [J]. *Clin Med Cardiol*, 2015, 8(Suppl 3): 35-42
- [30] Zhou L, Cai X, Liu Q, et al. Prognostic role of c-reactive protein in urological cancers: a meta-analysis[J]. *Sci Rep*, 2015, 5: 12733